

Otimização e Algoritmos

Grupo 42:

89683, José Neves
89691, Leonardo Pedroso
100660, Gustavo Bakker

Professores:

João Xavier e Cláudia Soares

Instituto Superior Técnico

13 de dezembro de 2020

Conteúdo

Parte 1

Parte 2

Part 3

Conteúdo

Parte 1

Parte 2

Part 3

Problema de otimização - Controlar o Robot

$$\underset{(x,u)}{\text{minimizar}} \quad \sum_{k=1}^K \|Ex(\tau_k) - \omega_k\|_2^2 + \lambda \sum_{t=1}^{T-1} \|u(t) - u(t-1)\|_2^2$$

restrições:

$$x(0) = x_{inicial}$$

$$x(T) = x_{final}$$

$$\|u(t)\|_2 \leq U_{max}, \text{ para } 0 \leq t \leq T-1$$

$$x(t+1) = Ax(t) + Bu(t), \text{ para } 0 \leq t \leq T-1$$

Controlo do robot - 4 Wishes

Wish 1 : $x_{inicial} = (p_{inicial}0)$, $x_{final} = (p_{final}0)$

Wish 2 : $\|u(t)\|_2 \leq U_{max}, para 0 \leq t \leq T - 1$

Wish 3 : $p(\tau_k) \simeq \omega_k, para 1 \leq k \leq K$

Wish 4 : $u(t) = u(t - 1) t \in 1, \dots, T - 1$

Controlo do robot - 4 Wishes

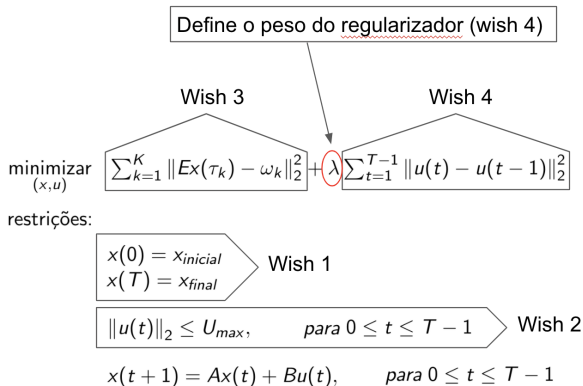


Figura 1: Identificação dos 4 wishes e parâmetro λ

Comparação de resultados para ℓ_2^2 , ℓ_2 e ℓ_1

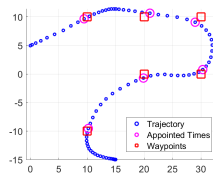
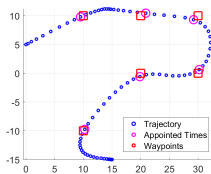
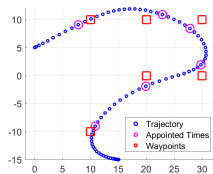


Figura 2: Trajetória para $\lambda = 10^{-1}$

Comparação de resultados para ℓ_2^2 , ℓ_2 e ℓ_1

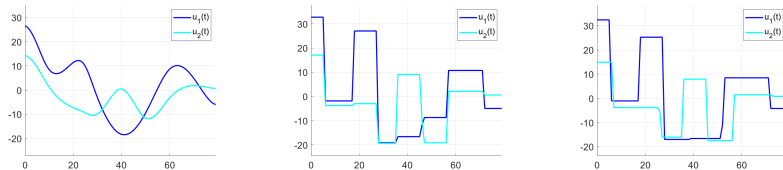


Figura 3: Sinal de controlo para $\lambda = 10^{-1}$

Comparação de resultados para ℓ_2^2 , ℓ_2 e ℓ_1

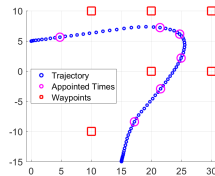
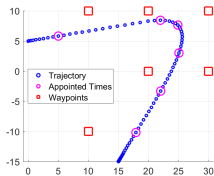
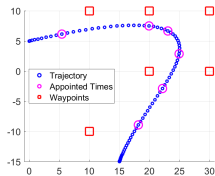


Figura 4: Trajetória para $\lambda = 10^1$

Comparação de resultados para ℓ_2^2 , ℓ_2 e ℓ_1

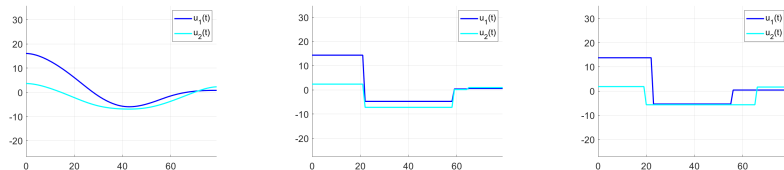


Figura 5: Sinal de controlo para $\lambda = 10^1$

Análise da evolução de cada norma - Série de Taylor

ℓ_2^2

$$\begin{aligned}\|x\|_2^2 &= \|a\|_2^2 + D_x \|x\|_2^2|_a (x - a) + \mathcal{O}((x - a)^T (x - a)) \\ &= \|a\|_2^2 + 2a^T (x - a) + \mathcal{O}((x - a)^T (x - a))\end{aligned}\quad (1)$$

ℓ_2

$$\begin{aligned}\|x\|_2 &= \|a\|_2 + D_x \|x\|_2|_a (x - a) + \mathcal{O}((x - a)^T (x - a)) \\ &= \|a\|_2 + \frac{a^T}{\|a\|_2} (x - a) + \mathcal{O}((x - a)^T (x - a))\end{aligned}\quad (2)$$

ℓ_1

$$\begin{aligned}\|x\|_1 &= \|a\|_1 + D_x \|x\|_1|_a (x - a) + \mathcal{O}((x - a)^T (x - a)) \\ &= \|a\|_1 + [\text{sgn}(a_1), \dots, \text{sgn}(a_n)] (x - a) + \mathcal{O}((x - a)^T (x - a))\end{aligned}\quad (3)$$

Pontos importantes dos resultados obtidos

1. ℓ_2^2 : derivada da norma do regularizador é nula na origem.
2. ℓ_2 e ℓ_1 : derivada não é nula na origem
3. O regularizador ℓ_2^2 penaliza diferenças muito grandes, mas é benevolente quando as diferenças são pequenas.
4. ℓ_2^2 : contínuo
5. ℓ_2 e ℓ_1 : constante por troços.

Comparação dos diferentes regularizadores

λ	Control de sinal			Desvio médio		
	ℓ_2^2	ℓ_2	ℓ_1	ℓ_2^2	ℓ_2	ℓ_1
10^{-3}	79	7	11	0.1257	0.0075	0.0107
10^{-2}	79	7	11	0.8242	0.0747	0.1055
10^{-1}	79	8	14	2.1958	0.7021	0.8863
10^0	79	4	9	3.6826	2.8877	2.8734
10^1	79	3	4	5.6316	5.3689	5.4362
10^2	79	2	2	10.9041	12.5914	13.0273
10^3	79	1	2	15.3304	16.2266	16.0463

Tabela 1: Comparação dos diferentes valores de λ entre os 3 regularizadores.

Pontos importantes dos resultados obtidos

1. Para qualquer λ em ℓ_2^2 , as mudanças do sinal de controlo são máximas (79), enquanto que para ℓ_2 e ℓ_1 o sinal de controlo varia.
2. para ℓ_1 as componentes de sinal de controlo são regularizadas independentemente.
3. para ℓ_2 as componentes de sinal de controlo são regularizadas de forma acoplada. ℓ_2^2 penaliza grandes diferenças. Sinal de controlo suave.
4. logo ℓ_2 tem menos mudanças de sinal de controlo que ℓ_1 e são simultâneas.
5. Para qualquer regularizador ℓ_2^2 , ℓ_2 , ℓ_1 verificou-se um aumento dos desvios médios com o aumento do valor de λ .

Comparação dos diferentes regularizadores

$$\sum_{t=1}^{T-1} \|u(t) - u(t-1)\|_1 = \sum_{t=1}^{T-1} |u_1(t) - u_1(t-1)| + \sum_{t=1}^{T-1} |u_2(t) - u_2(t-1)|$$

Cont.

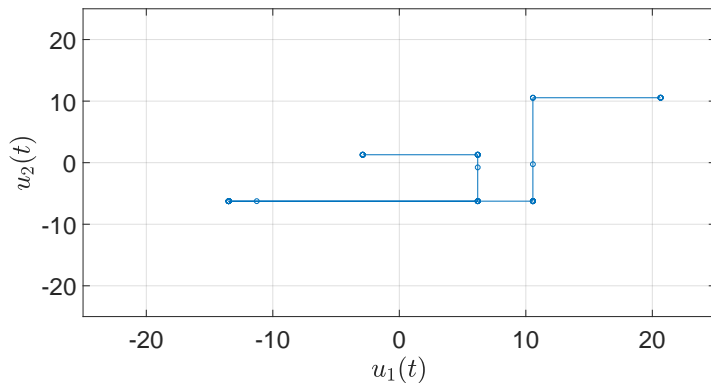


Figura 6: Representação do sinal de controlo ideal para $\lambda = 10^0$ com o ℓ_1 regularizador no plano.

Cont.

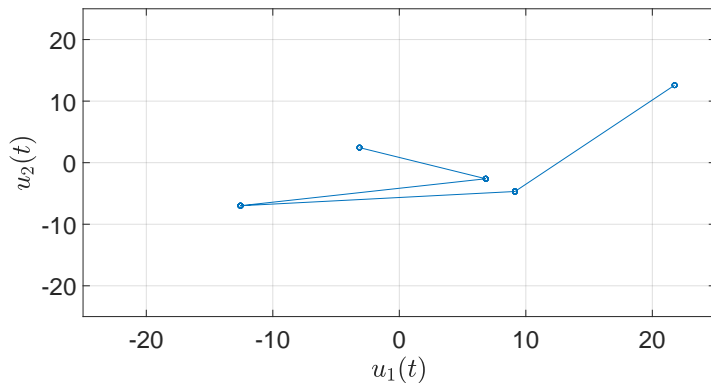


Figura 7: Representação do sinal de controlo ideal para $\lambda = 10^0$ com o ℓ_2 regularizador no plano.

Localizar um alvo em movimento

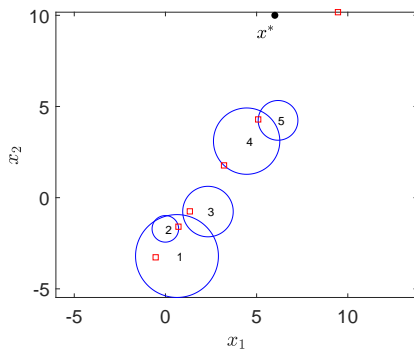


Figura 8: Detecção do ponto mais próximo de x^*

Localizar um alvo em movimento

$$\begin{array}{ll} \underset{(p_0, v) \in \mathbb{R}^2 \times \mathbb{R}^2}{\text{minimizar}} & \|p_0 + t^* v - x^*\| \\ \text{restrições} & \|p_0 + t_k v - c_k\| \leq R_k, \quad k = 1, \dots, K, \end{array}$$

Menor retângulo envolvente

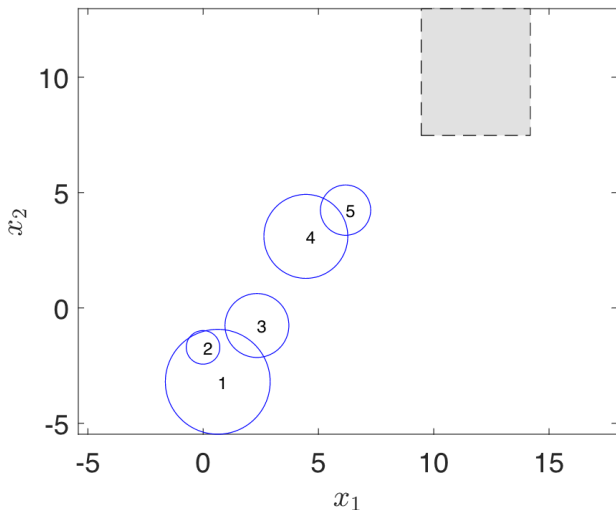


Figura 9: Método utilizado para encontrar os 4 pontos do retângulo.

Menor retângulo envolvente

$$\begin{array}{ll} \underset{(p_0, v) \in \mathbb{R}^2 \times \mathbb{R}^2}{\text{minimize}} & \begin{bmatrix} 1 & 0 \end{bmatrix} (p_0 + t^* v - x^*) \\ \text{subject to} & \|p_0 + t_k v - c_k\| \leq R_k, \quad k = 1, \dots, K. \end{array} \quad (4)$$

$$\begin{array}{ll} \underset{(p_0, v) \in \mathbb{R}^2 \times \mathbb{R}^2}{\text{minimize}} & \begin{bmatrix} -1 & 0 \end{bmatrix} (p_0 + t^* v - x^*) \\ \text{subject to} & \|p_0 + t_k v - c_k\| \leq R_k, \quad k = 1, \dots, K, \end{array} \quad (5)$$

$$\begin{array}{ll} \underset{(p_0, v) \in \mathbb{R}^2 \times \mathbb{R}^2}{\text{minimize}} & \begin{bmatrix} 0 & 1 \end{bmatrix} (p_0 + t^* v - x^*) \\ \text{subject to} & \|p_0 + t_k v - c_k\| \leq R_k, \quad k = 1, \dots, K, \end{array} \quad (6)$$

$$\begin{array}{ll} \underset{(p_0, v) \in \mathbb{R}^2 \times \mathbb{R}^2}{\text{minimize}} & \begin{bmatrix} 0 & -1 \end{bmatrix} (p_0 + t^* v - x^*) \\ \text{subject to} & \|p_0 + t_k v - c_k\| \leq R_k, \quad k = 1, \dots, K. \end{array} \quad (7)$$

Menor região envolvente

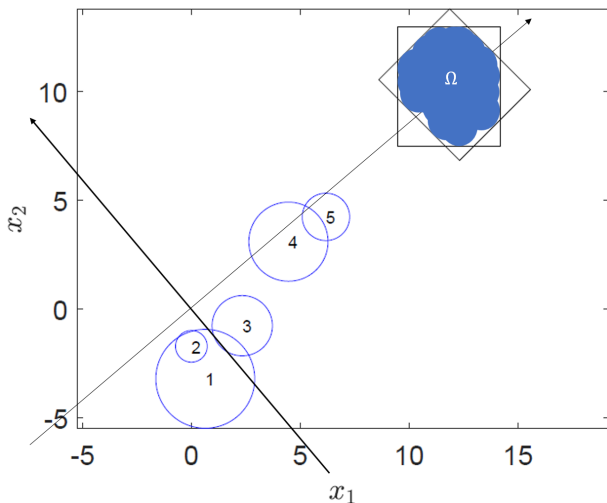


Figura 10: Figura-exemplo para explicação do método utilizado para aproximar o conjunto de soluções possíveis.

Menor região envolvente

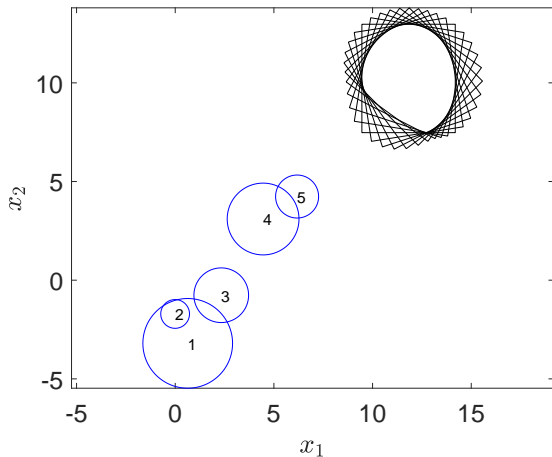


Figura 11: Menor polígono envolvente para $N = 10$ inclinações igualmente distanciadas.

Parte 1 - Menor região envolvente - convergência

Pretendemos resolver

$$\begin{aligned} & \underset{\mathcal{D} \in \mathbb{R}^2}{\text{minimize}} && \text{Area}(\mathcal{D}) \\ & \text{subject to} && (\mathbf{p}_0 + t^* \mathbf{v}) \in \mathcal{D}, \forall \mathbf{p}_0, \mathbf{v} \in \mathbb{R}^2 : \\ & && \|\mathbf{p}_0 + t_k \mathbf{v} - \mathbf{c}_k\| \leq R_k, \quad k = 1, \dots, K. \end{aligned} \tag{8}$$

- ▶ É não-convexo
- ▶ É aparentemente intratável

Parte 1 - Menor região envolvente - convergência

Foi aproximado por N soluções de

$$\begin{array}{ll}\underset{(p_0, v) \in \mathbb{R}^2 \times \mathbb{R}^2}{\text{minimize}} & [\cos \phi \quad \sin \phi] (p_0 + t^* v) \\ \text{subject to} & \|p_0 + t_k v - c_k\| \leq R_k, \quad k = 1, \dots, K.\end{array}$$

$$\begin{array}{ll}\underset{(p_0, v) \in \mathbb{R}^2 \times \mathbb{R}^2}{\text{minimize}} & [-\cos \phi \quad -\sin \phi] (p_0 + t^* v) \\ \text{subject to} & \|p_0 + t_k v - c_k\| \leq R_k, \quad k = 1, \dots, K,\end{array} \quad (9)$$

$$\begin{array}{ll}\underset{(p_0, v) \in \mathbb{R}^2 \times \mathbb{R}^2}{\text{minimize}} & [-\sin \phi \quad \cos \phi] (p_0 + t^* v) \\ \text{subject to} & \|p_0 + t_k v - c_k\| \leq R_k, \quad k = 1, \dots, K,\end{array}$$

$$\begin{array}{ll}\underset{(p_0, v) \in \mathbb{R}^2 \times \mathbb{R}^2}{\text{minimize}} & [\sin \phi \quad -\cos \phi] (p_0 + t^* v) \\ \text{subject to} & \|p_0 + t_k v - c_k\| \leq R_k, \quad k = 1, \dots, K.\end{array}$$

► Relaxação convexa

Parte 1 - Menor região envolvente - convergência

Theorem

Considere-se N retângulos, $\mathcal{R}_1, \dots, \mathcal{R}_N$, cada um obtido da resolução de 4 problemas de otimização convexos (9), para $\phi \in \Phi$ com

$$\Phi = \left\{ \phi \in \mathbb{R} : \phi = \frac{\pi}{2}((n-1)/N) ; n = 1, \dots, N \right\}.$$

Então a interseção dos N retângulos, converge para a solução do problema não convexo (8) à medida que $N \rightarrow \infty$, i.e.

$$\lim_{N \rightarrow \infty} \cap_{i=1}^N \mathcal{R}_i = \mathcal{D},$$

onde \mathcal{D} é a solução de (8).

Conteúdo

Parte 1

Parte 2

Part 3

Problema de otimização

$$\underset{(s,r) \in \mathbb{R}^n \times \mathbb{R}}{\text{minimizar}} \quad \frac{1}{K} \sum_{k=1}^K \left(\log \left(1 + \exp \left(s^T x_k - r \right) \right) - y_k \left(s^T x_k - r \right) \right)$$

Função objetivo

$$f(s, r) = \frac{1}{K} \sum_{k=1}^K \left(\log \left(1 + \exp \left(s^T x_k - r \right) \right) - y_k \left(s^T x_k - r \right) \right)$$

Algoritmos

Lecionados

1. *Gradient descent*

⇒ Algoritmo *line search* com $d_k = -\nabla f(x_k)$

⇒ Para funções genéricas

2. Newton

⇒ Algoritmo *line search* com $d_k = -[\nabla^2 f(x_k)]^{-1} \nabla f(x_k)$

⇒ Para funções convexas

3. Levenberg-Marquardt

⇒ Parte 3

Convexidade

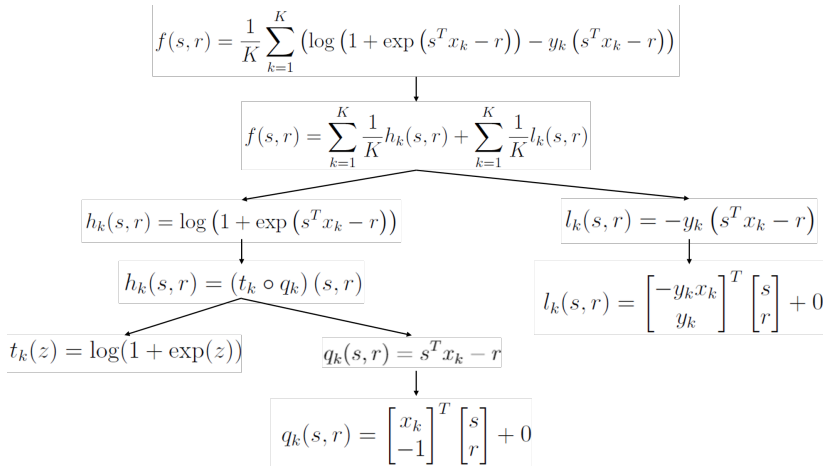


Figura 12: Decomposição da função objetivo para prova da sua convexidade.

Gradiente da função objetivo

$$\nabla f(s, r) = \frac{1}{K} \sum_{k=1}^K (\nabla h_k(s, r) + \nabla l_k(s, r))$$
$$\nabla h_k(s, r) = \nabla t_k(q_k(s, r)) \nabla q_k(s, r)$$
$$\nabla t_k(z) = \frac{dt_k}{dz}(z) = \frac{\exp(z)}{1 + \exp(z)}$$
$$\nabla q_k(s, r) = \begin{bmatrix} x_k \\ -1 \end{bmatrix}$$
$$\nabla h_k(s, r) = \left(1 - \frac{1}{\exp \left(\begin{bmatrix} x_k \\ -1 \end{bmatrix}^T \begin{bmatrix} s \\ r \end{bmatrix} \right) + 1} \right) \begin{bmatrix} x_k \\ -1 \end{bmatrix}$$
$$\nabla l_k(s, r) = \begin{bmatrix} -y_k x_k \\ y_k \end{bmatrix} = -y_k \begin{bmatrix} x_k \\ -1 \end{bmatrix}$$
$$\nabla f(s, r) = \frac{1}{K} \sum_{k=1}^K \left(1 - y_k - \frac{1}{\exp \left(\begin{bmatrix} x_k \\ -1 \end{bmatrix}^T \begin{bmatrix} s \\ r \end{bmatrix} \right) + 1} \right) \begin{bmatrix} x_k \\ -1 \end{bmatrix}$$

Figura 13: Decomposição da função objetivo para obtenção do gradiente.

Resultados do algoritmo *Gradient descent* para o dataset 1

$s = (1.3495, 1.0540)$ and $r = 4.8815$

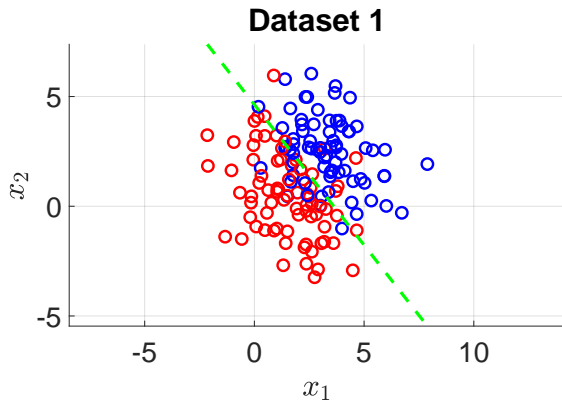


Figura 14: Dataset 1 e a correspondente reta $\{x \in \mathbb{R}^2 : s^T x = r\}$.

Resultados do algoritmo *Gradient descent* para o *dataset 1*

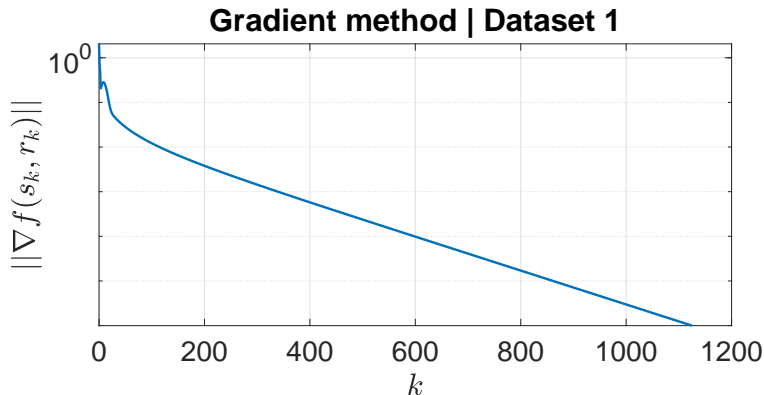


Figura 15: Norma do gradiente ao longo das iterações para o *dataset 1*.

Resultados do algoritmo *Gradient descent* para o dataset 2

$s = (0.7402, 2.3577)$ and $r = 4.5553$

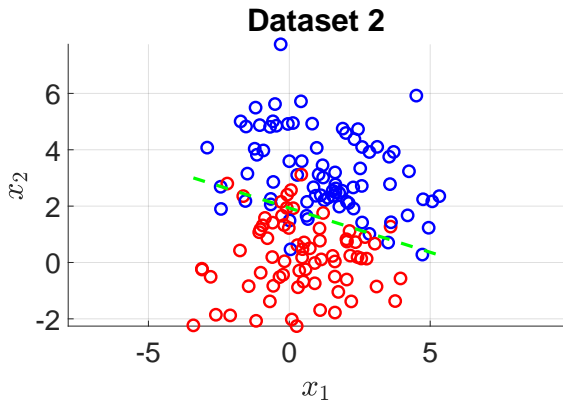


Figura 16: Dataset 2 e a correspondente reta $\{x \in \mathbb{R}^2 : s^T x = r\}$.

Resultados do algoritmo *Gradient descent* para o *dataset 2*

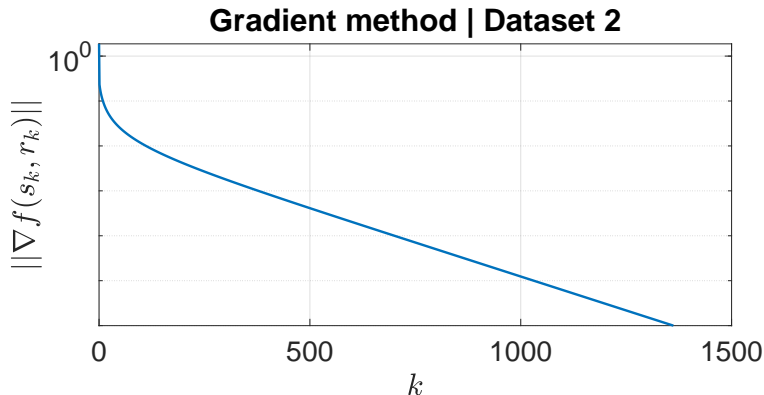


Figura 17: Norma do gradiente ao longo das iterações para o *dataset 2*.

Resultados do algoritmo *Gradient descent* para o *dataset 3*

$$r = 4.7984$$

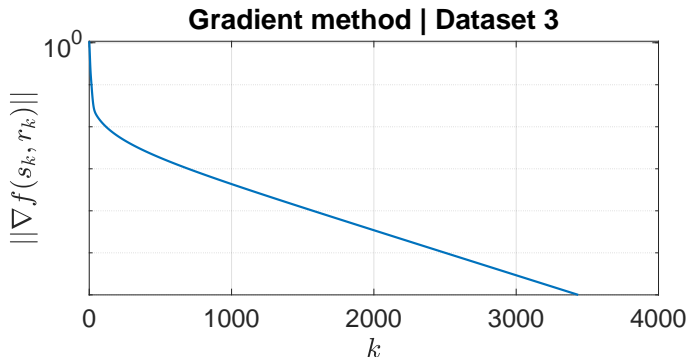


Figura 18: Norma do gradiente ao longo das iterações para o *dataset 3*.

Resultados do algoritmo *Gradient descent* para o *dataset* 4

$$r = 7.6701$$

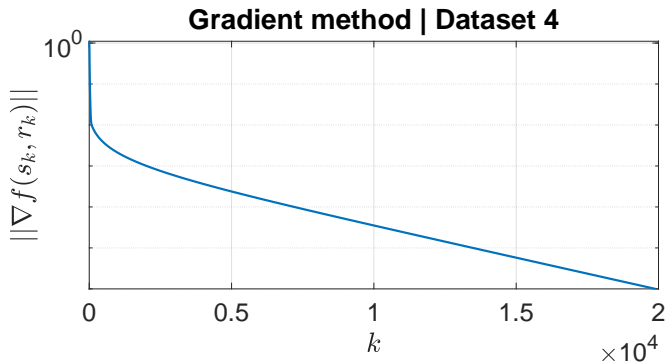


Figura 19: Norma do gradiente ao longo das iterações para o *dataset* 4.

Matriz Hessiana da função objetivo

$$f(s, r) = \frac{1}{K} \sum_{k=1}^K \left(\log \left(1 + \exp \left(s^T x_k - r \right) \right) - y_k \left(s^T x_k - r \right) \right)$$

pode ser escrita como

$$f(x) = \sum_{k=1}^K \left(\phi \left(a_k^T x \right) + \frac{1}{K} \begin{bmatrix} -y_k x_k \\ y_k \end{bmatrix}^T x \right)$$

onde

$$\phi(z) = \frac{1}{K} \log(1 + \exp(z))$$

$$a_k = [x_k \quad -1]^T$$

$$x = [s \quad r]^T$$

Matriz Hessiana da função objetivo

Da Hessiana de uma função afim e da Hessiana da soma,

$$\nabla^2 f(x) = \nabla^2 \left(\sum_{k=1}^K \phi(a_k^T x) \right).$$

Pela regra da derivada da composta,

$$\nabla f(x) = \sum_{k=1}^K \phi(a_k^T x) a_k.$$

Matriz Hessiana da função objetivo

Derivando novamente, chega-se a

$$\nabla^2 f(x) = \sum_{k=1}^K a_k \ddot{\phi}(a_k^T x) a_k^T,$$

pelo que

$$\nabla^2 f(x) = \begin{bmatrix} a_1 & a_2 & \dots & a_K \end{bmatrix} \begin{bmatrix} \ddot{\phi}(a_1^T x) & & & \\ & \ddot{\phi}(a_2^T x) & & \\ & & \dots & \\ & & & \ddot{\phi}(a_K^T x) \end{bmatrix} \begin{bmatrix} a_1^T \\ a_2^T \\ \dots \\ a_K^T \end{bmatrix}$$

com

$$\ddot{\phi}(z) = \frac{\exp(z)}{K [1 + \exp(z)]^2}.$$

Resultados do algoritmo de Newton

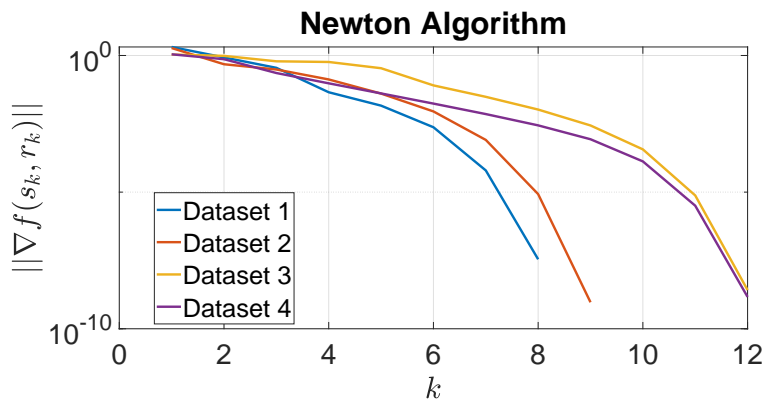


Figura 20: Norma do gradiente ao longo das iterações para todos os *datasets*.

Resultados do algoritmo de Newton

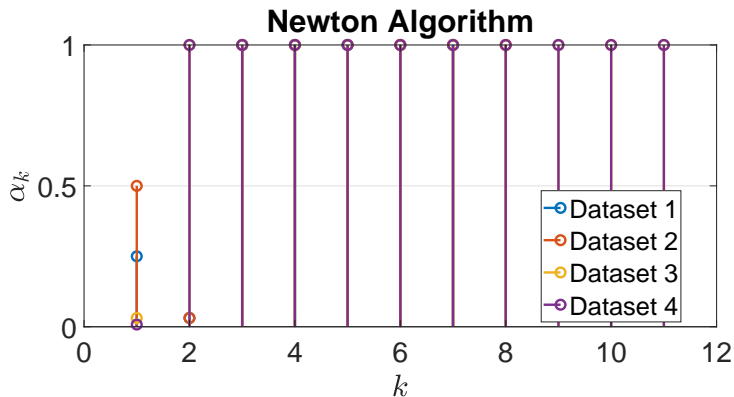


Figura 21: Valor do *stepsize* ao longo das iterações para todos os *datasets*.

Comparação dos resultados dos algoritmos *Gradient descent* e de Newton

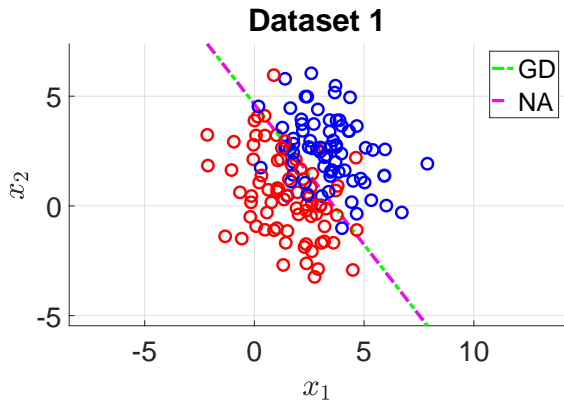


Figura 22: Comparação dos resultados obtidos para po *dataset* com ambos os métodos.

Comparação dos resultados dos algoritmos *Gradient descent* e de Newton

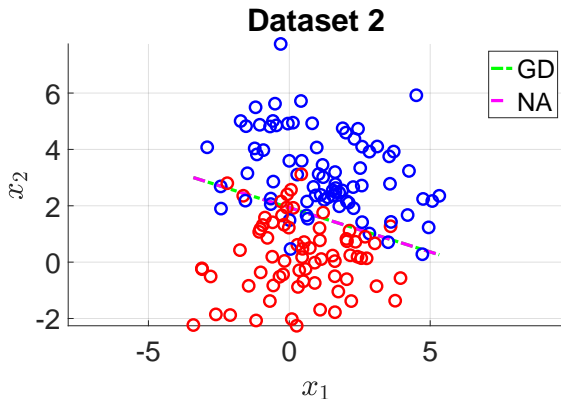


Figura 23: Comparação dos resultados obtidos para po *dataset 2* com ambos os métodos.

Comparação dos resultados dos algoritmos *Gradient descent* e de Newton

Tabela 2: Dados de execução para cada método e *dataset*.

Método	<i>Dataset</i>	Iterações	Tempo [s]	Méd. tempo/iteração [s]
GD	1	1125	0.078	6.90×10^{-5}
NA	1	7	0.041	2.30×10^{-3}
GD	2	1362	0.082	6.04×10^{-5}
NA	2	8	0.014	3.16×10^{-3}
GD	3	3436	1.00	29.1×10^{-5}
NA	3	11	0.051	465×10^{-3}
GD	4	19892	169	851×10^{-5}
NA	4	11	8.51	774×10^{-3}

Conteúdo

Parte 1

Parte 2

Part 3

Parte 3 - Introdução

Nesta parte pretende-se resolver o seguinte problema

$$\underset{y \in \mathbb{R}^{Nk}}{\text{minimize}} \quad f(y),$$

onde

$$f(y) := \sum_{m=1}^N \sum_{n=m+1}^N (\|y_m - y_n\|_2 - D_{mn})^2 = \sum_{m=1}^N \sum_{n=m+1}^N f_{mn}(y)^2,$$

e

$$D_{mn} = \|x_m - x_n\|_2.$$

- ▶ Não é um problema de otimização convexo!
- ▶ Será resolvido usando o método Levenberg-Marquardt (LM)

Part 3 - Task 2

Definindo $y_{m-n} := y_m - y_n$ podemos escrever

$$f_{mn}(y) := \|y_{m-n}\| - D_{mn}$$

e

$$D_y f_{mn}(y) = \frac{[0_{1 \times (m-1)k} \ y_{m-n}^T \ 0_{1 \times (n-m-1)k} - y_{m-n}^T \ 0_{1 \times (N-n)k}]}{\|y_{m-n}\|}.$$

- Tanto $f_{mn}(y)$ como $D_y f_{mn}(y)$ são escritos em função de cada y_{m-n} e da sua norma.

Part 3 - Task 2

A função de otimização é

$$f(y) = \sum_{m=1}^N \sum_{n=m+1}^N f_{mn}(y)^2 ,$$

e o seu jacobiano é dado por

$$\begin{aligned} D_y f(y) &= \sum_{m=1}^N \sum_{n=m+1}^N D_u(u^2) \Big|_{u=f_{mn}(y)} D_y f_{mn}(y) \\ &= \sum_{m=1}^N \sum_{n=m+1}^N 2f_{mn}(y) D_y f_{mn}(y) . \end{aligned}$$

- Tanto $f(y)$ como $D_y f(y)$ são escritos em função de cada $f_{mn}(y)$ e $D_y f_{mn}(y)$.

Part 3 - Task 2

Para cada iteração do método LM é necessário calcular A e b dados por

$$A := \begin{bmatrix} D_y f_{1,1}(y) \\ D_y f_{1,2}(y) \\ \vdots \\ D_y f_{N-1,N}(y) \\ \sqrt{\lambda} I_{Nk \times Nk} \end{bmatrix} \quad \text{e} \quad b := \begin{bmatrix} D_y f_{1,1}(y)y - f_{1,1}(y) \\ D_y f_{1,2}(y)y - f_{1,2}(y) \\ \vdots \\ D_y f_{N-1,N}(y)y - f_{N-1,N}(y) \\ \sqrt{\lambda} y \end{bmatrix} .$$

Note-se que

$$D_y f_{mn}(y)y - f_{mn}(y) = y_{m-n}(y_m - y_n) - \|y_{m-n}\| + D_{mn} = D_{mn} ,$$

logo

$$b = \begin{bmatrix} D_{1,1} & D_{1,2} & \dots & D_{N-1,N} & \sqrt{\lambda} y \end{bmatrix} .$$

- Fração considerável das entradas de b é constante, pelo que pode ser calculada uma única vez.

Part 3 - Task 2

Em cada iteração do método LM é necessário calcular $f(y), \|D_y f(y)\|$, A , e $b \rightarrow$ desenvolvida a função:

$$[f(y), \|D_y f(y)\|, A, b] = \text{objective}F(y).$$

- ▶ Calculadas apenas parte de A e b independentes de λ ;
- ▶ $f(y), \|D_y f(y)\|, A$, e b calculados simultaneamente;
- ▶ As quantidades $f(y), \|D_y f(y)\|$, e A são calculadas iterativamente para todos os pares

$$(m, n) : m \in \{1, \dots, N-1\}, n \in \{m+1, \dots, N\},$$

prefazendo um total de $N(N/2 - 1)$ iterações;

- ▶ b é calculado apenas na primeira instância desta função.

Part 3 - Task 2

Para a i -th iteração (m, n) :

- ▶ $y_{m-n} \leftarrow y_m - y_n$
- ▶ $\|y_{m-n}\| \leftarrow \sqrt{y_{m-n}^T y_{m-n}}$
- ▶ $f_{mn}(y) \leftarrow \|y_{m-n}\| - b(i)$
- ▶ $D_y f_{mn}(y) \leftarrow \frac{\begin{bmatrix} 0_{1 \times (m-1)k} & y_{m-n}^T & 0_{1 \times (n-m-1)k} & -y_{m-n}^T & 0_{1 \times (N-n)k} \end{bmatrix}}{\|y_{m-n}\|}$
- ▶ $f(y) \leftarrow f(y) + f_{mn}(y)^2$
- ▶ $D_y f(y) \leftarrow D_y f(y) + 2f_{mn}(y)D_y f_{mn}(y)$
- ▶ $\text{row}_i(A) \leftarrow D_y f_{mn}(y)$

Melhoramento de 2 ordens de grandeza no esforço computacional em relação a uma primeira implementação ingênua.

Part 3 - Task 4

Não é dada inicialização:

- ▶ Resolver o problema com LM para vários y_0 aleatórios
- ▶ Cada LM pode ser calculado em paralelo
- ▶ Escolhe-se a melhor solução

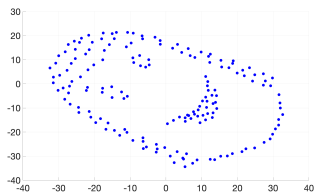
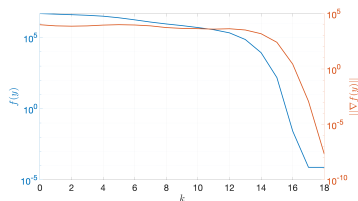


Figura 24: Melhor solução em 24 inicializações distintas para $k = 2$.

Part 3 - Task 4

Verificou-se que:

- ▶ Para todas as 24 inicializações obtém-se o mesmo valor de f
- ▶ As soluções verificam $f(y_{sol}) = 7.6430 \times 10^{-5}$
- ▶ A função de otimização é não-negativa
- ▶ Se se reduzir ϵ , $f(y_{sol})$ aproxima-se de 0
- ▶ Na prática, pode ser considerado um mínimo global ($f(y_{sol}) \ll D_{ij}$)

Part 3 - Task 4 - Unicidade da solução

Seja

$$\bar{y} = \text{col}(\mathcal{T}y_1 + w, \dots, \mathcal{T}y_N + w),$$

onde $\mathcal{T} \in \mathbb{R}^{k \times k}$ é uma matriz de rotação e $w \in \mathbb{R}^k$. É evidente que

$$\|\bar{y}_m - \bar{y}_n\| = \|y_m - y_n\|$$

para qualquer par $(m, n) : m \in \{1, \dots, N\}, n \in \{1, \dots, N\}$. Logo

$$f(\bar{y}) = f(y).$$

- ▶ Se for encontrada uma solução, então existe uma infinidade de soluções.
- ▶ Logo, a solução encontrada não é única.

Part 3 - Task 4 - Unicidade da solução

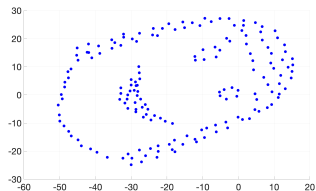
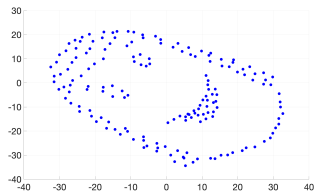


Figura 25: Duas melhores soluções em 24 inicializações distintas para $k = 2$.

- Uma solução pode ser obtida da outra por via de uma rotação e translação de cada y_i , $i \in \{1, \dots, N\}$.

Part 3 - Task 4 - Unicidade da solução

- ▶ Será que todas as soluções são da forma

$$\bar{y} = \text{col}(\mathcal{T}y_1 + w, \dots, \mathcal{T}y_N + w) ?$$

- ▶ Não! A reflexão de cada y_i , $i \in \{1, \dots, N\}$ em relação ao eixo da primeira coordenada origina um valor igual da função de custo.

Part 3 - Task 4 - cMDS

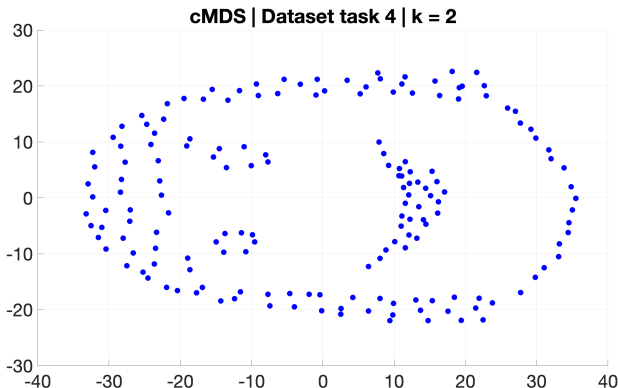


Figura 26: Solução método cMDS.

- A solução corresponde a uma translação e rotação das duas soluções anteriores.